

問題 1 3 量子力学 解答例

I.

$$(1) \begin{cases} \frac{\hbar^2}{2m} \cdot \frac{d^2 \varphi_1}{dx^2} + (E + V_0) \varphi_1 = 0 & (x \leq 0) \\ \frac{\hbar^2}{2m} \cdot \frac{d^2 \varphi_2}{dx^2} + E \varphi_2 = 0 & (x > 0) \end{cases}$$

$$(2) \quad x \leq 0 \text{ のとき, } k = \frac{\sqrt{2m(E+V_0)}}{\hbar}, \quad x > 0 \text{ のとき, } a = \frac{\sqrt{2mE}}{\hbar}$$

$$(3) \text{ 境界条件は, } \varphi_1(0) = \varphi_2(0) \quad \text{かつ} \quad \left. \frac{d\varphi_1}{dx} \right|_{x=0} = \left. \frac{d\varphi_2}{dx} \right|_{x=0}$$

$$\begin{cases} A + B = C \\ k(A - B) = aC \end{cases}$$

$$(4) \quad B = \frac{k-a}{k+a} A, \quad C = \frac{2k}{k+a} A$$

$$(5) \quad j_1 = \frac{\hbar k}{m} (|A|^2 - |B|^2) = \frac{\hbar k}{m} \frac{(k+a)^2 - (k-a)^2}{(k+a)^2} |A|^2 = \frac{4\hbar k^2 a}{m(k+a)^2} |A|^2$$

$$j_2 = \frac{\hbar a}{m} |C|^2 = \frac{4\hbar k^2 a}{m(k+a)^2} |A|^2$$

$$(6) \quad \text{反射率 } R = \left( \frac{k-a}{k+a} \right)^2$$

$$\text{透過率 } T = \frac{4ka}{(k+a)^2}$$

$$(7) \quad R = \left( \frac{k-a}{k+a} \right)^2 = \left( \frac{\sqrt{E+V_0} - \sqrt{E}}{\sqrt{E+V_0} + \sqrt{E}} \right)^2 \quad \therefore R=0 \text{ の条件は, } V_0=0$$

問題 13

II.

$$(1) \quad \frac{\hbar^2}{2m} \cdot \frac{d^2 \psi_n(x)}{dx^2} + \left( E_n - \frac{m\omega^2 x^2}{2} \right) \psi_n(x) = 0$$

$$(2) \quad \frac{d^2 \psi_n(q)}{dq^2} + (\lambda_n - q^2) \psi_n(q) = 0$$

$$(3) \quad H_1 = 2q$$

$$H_2 = -2 + 4q^2$$

$$H_3 = -12q + 8q^3$$

$$(4) \quad \phi_\ell(q=0) = 0$$

$$(5) \quad n = 1$$

$$(6) \quad \phi_0 = Aq \exp\left(\frac{-q^2}{2}\right), \quad (q \geq 0)$$

$$\phi_0 = 0, \quad (q < 0) \quad \text{ただし、規格化定数を } A \text{ とした。}$$

$$(7) \quad \phi_0 = 2\sqrt{2}C_1 q \exp\left(\frac{-q^2}{2}\right) \quad (q \geq 0)$$

$$\phi_0 = 0, \quad (q < 0)$$

$$(8) \quad n = 2\ell + 1$$

問題 1 4 電気回路・電子回路 [I] 解答例

(1)

①コンデンサの初期電荷が 0 なので,

$$\underline{i_R = \frac{E}{R}}, \quad \underline{i_L = 0}, \quad \underline{i_C = \frac{E}{R}}$$

$$\textcircled{2} \quad R i_R(t) + L \frac{d}{dt} i_L(t) = R(i_L(t) + i_C(t)) + L \frac{d}{dt} i_L(t) = E$$

$$L \frac{d}{dt} i_L(t) = \frac{1}{C} \int i_C(t) dt \text{ より } CL \frac{d^2}{dt^2} i_L(t) = i_C(t)$$

$$\text{したがって, } \underline{R i_L(t) + RLC \frac{d^2}{dt^2} i_L(t) + L \frac{d}{dt} i_L(t) = E} \rightarrow \underline{0.04 \frac{d^2}{dt^2} i_L(t) + 0.4 \frac{d}{dt} i_L(t) + i_L(t) = 20}$$

③題意より  $i_L(0) = 0$ , また,  $v_C(0) = 0$  より  $i_L^{(1)}(0) = 0$  である。これらの初期条件の下で, 上式を解いて,  $i_L(t) = 20 - 20 \cdot (1 + 5t) e^{-5t}$

$$\text{したがって, } \underline{i_L(0.2) = 20 - 40 \cdot e^{-1} = 20 \cdot (1 - 2 \cdot e^{-1})}$$

$$v_C = \frac{1}{C} \int i_C(t) dt = L \frac{d}{dt} i_L(t) = 200t e^{-5t} \rightarrow \underline{v_C(0.2) = 40 e^{-1}}$$

(2)

①十分時間が経過した後は, コイルが短絡状態となるので,

$$\underline{i_R = \frac{E}{R}}, \quad \underline{i_L = \frac{E}{R}}, \quad \underline{i_C = 0}, \quad \underline{P = \frac{E^2}{R}}$$

②回路方程式は

$$\underline{L \frac{d}{dt} i_L(t) + \frac{1}{C} \int i_L(t) dt = 0} \rightarrow \underline{0.4 \frac{d^2}{dt^2} i_L(t) + 10 \cdot i_L(t) = 0}$$

③初期条件  $i_L(0) = \frac{E}{R} = 20$  の下で, 上式を解いて,

$$i_L(t) = 20 \cos(5t)$$

$$v_C(t) = -\frac{1}{C} \int i_L(t) dt = -40 \cdot \sin(5t)$$

電流の振幅: 20[A], 角周波数: 5[rad/s]

コンデンサの両端電圧: 40[V]

(別解: エネルギー保存則  $\frac{1}{2} L \cdot I_{Lm}^2 = \frac{1}{2} C \cdot V_{Cm}^2$  から,  $V_{Cm} = I_{Lm} \sqrt{\frac{L}{C}} = 20 \times 2 = 40$ )

問題 1 4 電気回路・電子回路 II (解答例)

オペアンプの特性は理想的とするので、オペアンプの + 入力端子の電圧と - 入力端子の電圧は等しくなる (仮想短絡)。またオペアンプの二つの入力端子には電流は流れない。

- (1) オペアンプが理想的で仮想短絡が成立することから、上側のオペアンプの + 入力端子の電圧  $V_1 = V_{in}$  と - 入力端子の電圧  $V_3$  が等しくなるため

$$V_3 = V_{in} \quad \dots (\text{答})$$

下側のオペアンプについても同様に - 入力端子の電圧  $V_3 = V_{in}$  と + 入力端子の電圧  $V_5$  が等しくなるため

$$V_5 = V_{in} \quad \dots (\text{答})$$

- (2) 電圧  $V_5$  の節点に注目すると  $I_4 + I_5 = 0$  であるので

$$\frac{V_{in} - V_4}{Z_4} + \frac{V_{in} - 0}{Z_5} = 0$$

より

$$V_4 = \left(1 + \frac{Z_4}{Z_5}\right) \cdot V_{in} \quad \dots (\text{答})$$

- (3) 同様に電圧  $V_3$  の節点に注目すると  $I_2 + I_3 = 0$  であるので

$$\frac{V_{in} - V_2}{Z_2} + \frac{V_{in} - V_4}{Z_3} = 0$$

より

$$V_2 = \left(1 + \frac{Z_2}{Z_3}\right) \cdot V_{in} - \frac{Z_2}{Z_3} \cdot V_4$$

従って

$$V_2 = \left(1 - \frac{Z_2 Z_4}{Z_3 Z_5}\right) \cdot V_{in} \quad \dots (\text{答})$$

- (4) 入力インピーダンス  $Z_{in}$  は

$$Z_{in} = \frac{V_{in}}{I_{in}}$$

また

$$I_{in} = I_1 = \frac{V_{in} - V_2}{Z_1} = \frac{Z_2 Z_4}{Z_1 Z_3 Z_5} \cdot V_{in}$$

従って

$$Z_{in} = \frac{Z_1 Z_3 Z_5}{Z_2 Z_4} \quad \dots (\text{答})$$

- (5)  $Z_1$  の抵抗  $R_1$ ,  $Z_2$  の抵抗  $R_2$ ,  $Z_3$  の抵抗  $R_3$ ,  $Z_5$  の抵抗  $R_5$  とし,  $Z_4$  のキャパシタンス  $C_4$  とすると  $Z_4 = 1/j\omega C_4$  となるので, このオペアンプ回路の入力インピーダンス  $Z_{in}$  は

$$Z_{in} = j\omega C_4 \cdot \frac{R_1 R_3 R_5}{R_2}$$

となる。これはインダクタンス

$$L = C_4 \cdot \frac{R_1 R_3 R_5}{R_2}$$

の等価インダクタを表している。

(インピーダンスの分子が  $j\omega$  となることが説明できれば正解とする)  $\dots (\text{答})$

# 問題 1 6 電子物性

解答例

(1)

$$N_a - N_d$$

(2)

$$(N_a - N_d)q\mu$$

(3)

$$\frac{L}{S(N_a - N_d)q\mu}$$

(4)

フェルミ準位と価電子帯上端のエネルギー差：

$$kT \ln \frac{N_V}{N_a - N_d}$$

バンドギャップ：

$$kT \ln \frac{N_C N_V}{n(N_a - N_d)}$$

(5)

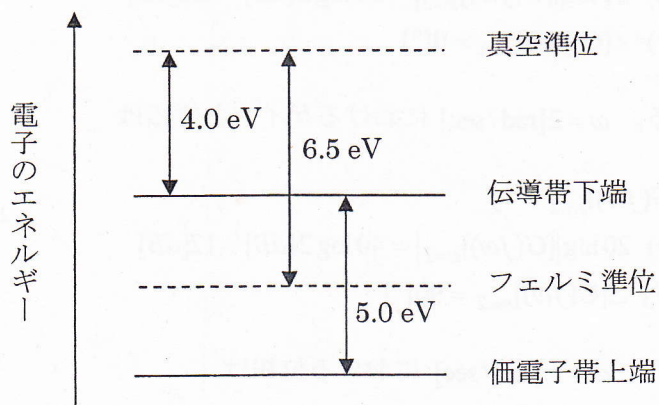
仕事関数：

$$\frac{hc}{\lambda} - kT \ln \frac{N_V}{N_a - N_d}$$

電子親和力：

$$\frac{hc}{\lambda} - kT \ln \frac{N_C N_V}{n(N_a - N_d)}$$

(6)





問題 17 制御工学 の解答例

I 図 1 を等価変換すると、(A) のブロックに入る伝達関数は次式で与えられる。

$$\frac{G_1(s)}{1-2G_1(s)+G_1(s)G_2(s)\{G_3(s)+G_4(s)\}}$$

II システムの伝達関数は、インパルス応答のラプラス変換と等しいため、システムの伝達関数  $F(s)$  は次式で与えられる。

$$F(s) = \frac{\sqrt{3}s+3}{s^2+9}$$

よって、 $(a, b, c, d) = (\sqrt{3}, 3, 0, 9)$  である。

III 角周波数  $\omega[\text{rad/sec}]$  における周波数伝達関数の値は

$$G(j\omega) = \frac{(j\omega+2)^2}{2}$$

であるため、 $\omega=0[\text{rad/sec}]$  におけるゲインと位相は

$$[G(j\omega)]_{\omega=0} = 2$$

$$(a) 20 \log |[G(j\omega)]_{\omega=0}| = 20 \log 2 [\text{dB}] = 6.0 [\text{dB}]$$

$$(c) \angle [G(j\omega)]_{\omega=0} = 0 [^\circ]$$

である。 $\omega=2[\text{rad/sec}]$  におけるゲインと位相は

$$[G(j\omega)]_{\omega=2} = 4j$$

$$(b) 20 \log |[G(j\omega)]_{\omega=2}| = 40 \log 2 [\text{dB}] = 12 [\text{dB}]$$

$$(d) \angle [G(j\omega)]_{\omega=2} = 90 [^\circ]$$

である。 $\omega=\infty[\text{rad/sec}]$  における位相は

$$(e) \angle [G(j\omega)]_{\omega=\infty} = 180 [^\circ]$$

である。

$$\text{IV (1)} \quad \frac{Y(s)}{R(s)} = \frac{C_1(s)\{C_2(s)+H(s)\}P(s)}{1+P(s)H(s)}$$

$$(2) \quad \frac{Y(s)}{D(s)} = \frac{P(s)}{1+P(s)H(s)}$$

(3) 目標値を零とすると、図 3 より、制御量のラプラス変換は

$$Y(s) = \frac{1}{s^2 + 2s + 3 + K_1} \times D(s)$$

である。制御系は安定であるため、最終値の定理より、単位ステップ関数の外乱に対する制御量  $y(t)$  の定常値はつぎのようになる。

$$\lim_{t \rightarrow \infty} y(t) = \lim_{s \rightarrow 0} sY(s) = \lim_{s \rightarrow 0} s \times \left\{ \frac{1}{s^2 + 2s + 3 + K_1} \times \frac{1}{s} \right\} = \frac{1}{3 + K_1}$$

よって、定常値が 0.1 となる  $K_1$  はつぎのようになる。

$$K_1 = 7$$

(4) 外乱を零とすると、図 3 より、制御量のラプラス変換は、

$$Y(s) = \frac{C_2(s) + K_1}{s^2 + 2s + 3 + K_1} \times \frac{1}{1 + \tau s} \times R(s)$$

である。図 4 より  $R(s)$  から  $Y(s)$  までの伝達関数は、つぎの一次遅れ系

$$\frac{Y(s)}{R(s)} = \frac{1}{1 + 3s}$$

で与えられるため、正の定数  $\tau$  と伝達関数  $C_2(s)$  はつぎのようになる。

$$\tau = 3, \quad C_2(s) = s^2 + 2s + 3$$

(5) 図 3 のフィードバック制御系の特性多項式  $A_c(s)$  とラウス表は以下のようになる。

$$A_c(s) = s^2(s+2)(s+4) + K_2(s+1) = s^4 + 6s^3 + 8s^2 + K_2s + K_2$$

$$\begin{array}{c|ccc} s^4 & 1 & 8 & K_2 \\ s^3 & 6 & K_2 & \\ s^2 & \alpha_1 & \alpha_2 & \\ s^1 & \beta_1 & & \\ s^0 & K_2 & & \end{array}, \quad \begin{aligned} \alpha_1 &= -\frac{1}{6}(K_2 - 48), \quad \alpha_2 = -\frac{1}{6}(-6K_2) = K_2 \\ \beta_1 &= -\frac{1}{\alpha_1}(6K_2 - K_2\alpha_1) = -\frac{K_2}{6\alpha_1}(K_2 - 12) \end{aligned}$$

図 3 の制御系が安定であるための必要十分条件はつぎのようになる。

$$0 < K_2 < 12$$

(解答例おわり)